

Caracterización preliminar de metabolitos secundarios de *Nigrospora sphaerica* para el control de la moniliasis en *Theobroma cacao* en Ecuador

¹Stalin A. Bermúdez-Puga, ²Fernando Espinoza ³Jimmy Pico, ¹Pablo A. Cisneros-Pérez y ^{*1,4}Leopoldo Naranjo-Briceño



INTRODUCCIÓN

La aparición de la moniliasis, una enfermedad causada por la especie *Moniliophthora roreri* arrasó con la producción ecuatoriana causando un fuerte impacto socioeconómico. Esta enfermedad causa pérdidas económicas entre 30-100% en Latinoamérica. El estudio de hongos biocontroladores depositados en el Banco de Microorganismos de Ikiam constituye un aporte trascendental para contribuir a resolver problemas de la región, en este caso, el control de hongos fitopatógenos en el cultivo de cacao empleando cepas autóctonas aisladas y caracterizadas en la región. Estos estudios permiten buscar estrategias sostenibles mediante el uso de bioproductos para controlar dicha enfermedad.



OBJETIVO

Caracterizar metabolitos secundarios con actividad antifúngica en *N. sphaerica* con potencial biotecnológico para el control del hongo fitopatógeno *M. roreri*



METODOLOGÍA

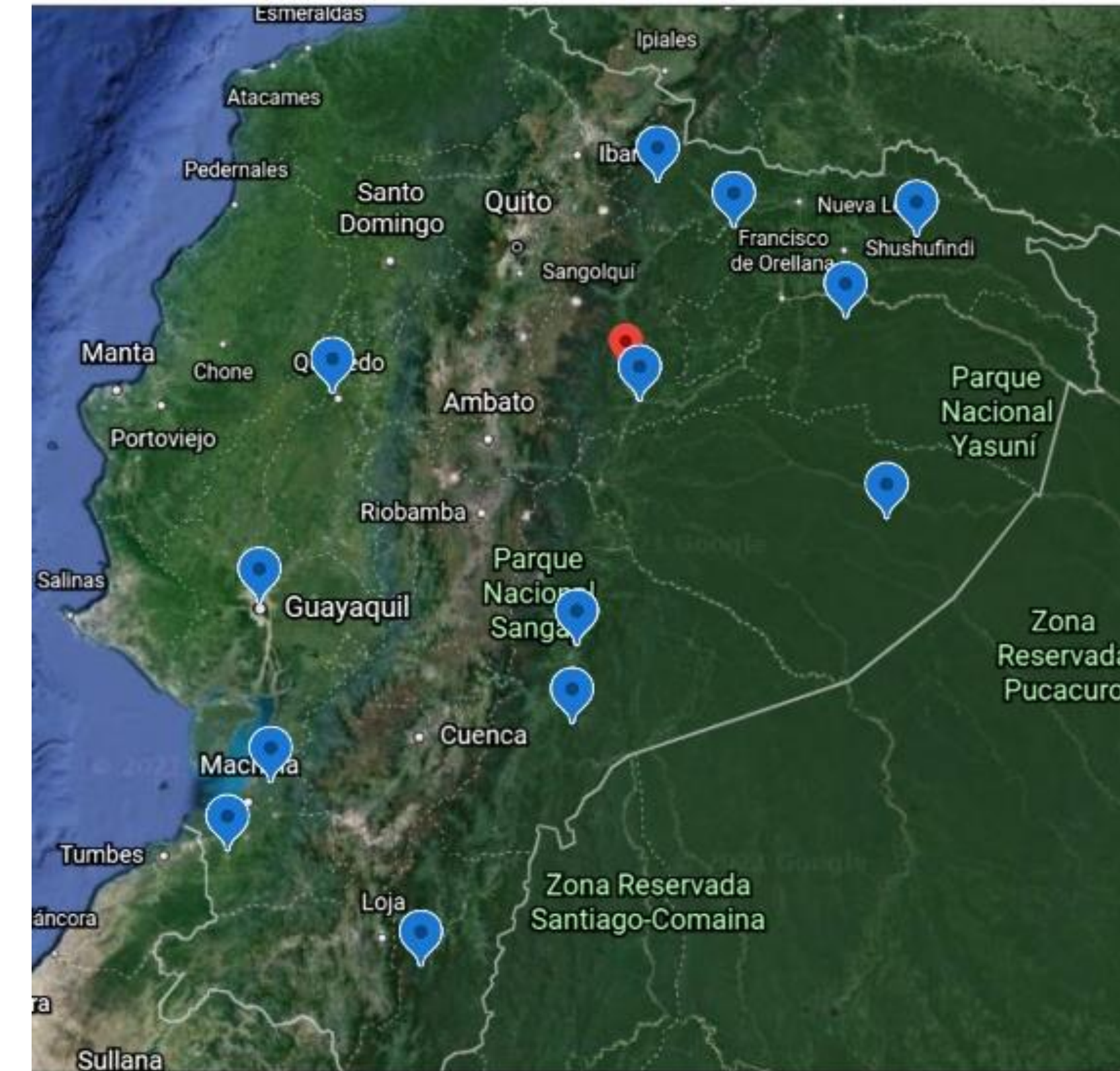
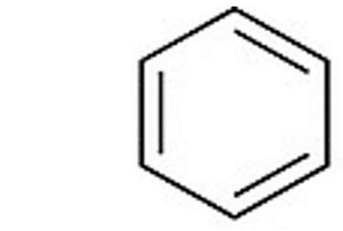


Figura 1). Localización espacial del aislamiento de las cepas de *M. roreri* utilizadas en el trabajo de titulación.



RESULTADOS Y DISCUSIÓN

Ensayo de antagonismo de *N. sphaerica* contra *M. roreri*

Cepa de <i>M. roreri</i>	Inhibición (%) de <i>N. sphaerica</i> hacia <i>M. roreri</i>
Mr81	0.00
Mr42	0.00
Mr69	0.00
Mr50	2.72 ± 1.81
Mr72	2.75 ± 0.9
Mr85	7.91 ± 3.05
Mr86	8.66 ± 1.04
Mr56	9.25 ± 0.25
Mr47	11.68 ± 4.49
Mr93	17.26 ± 0.97
Inia2	18.09 ± 2.45
Inia1	20.58 ± 1.14
Mr95	61.9 ± 1.34

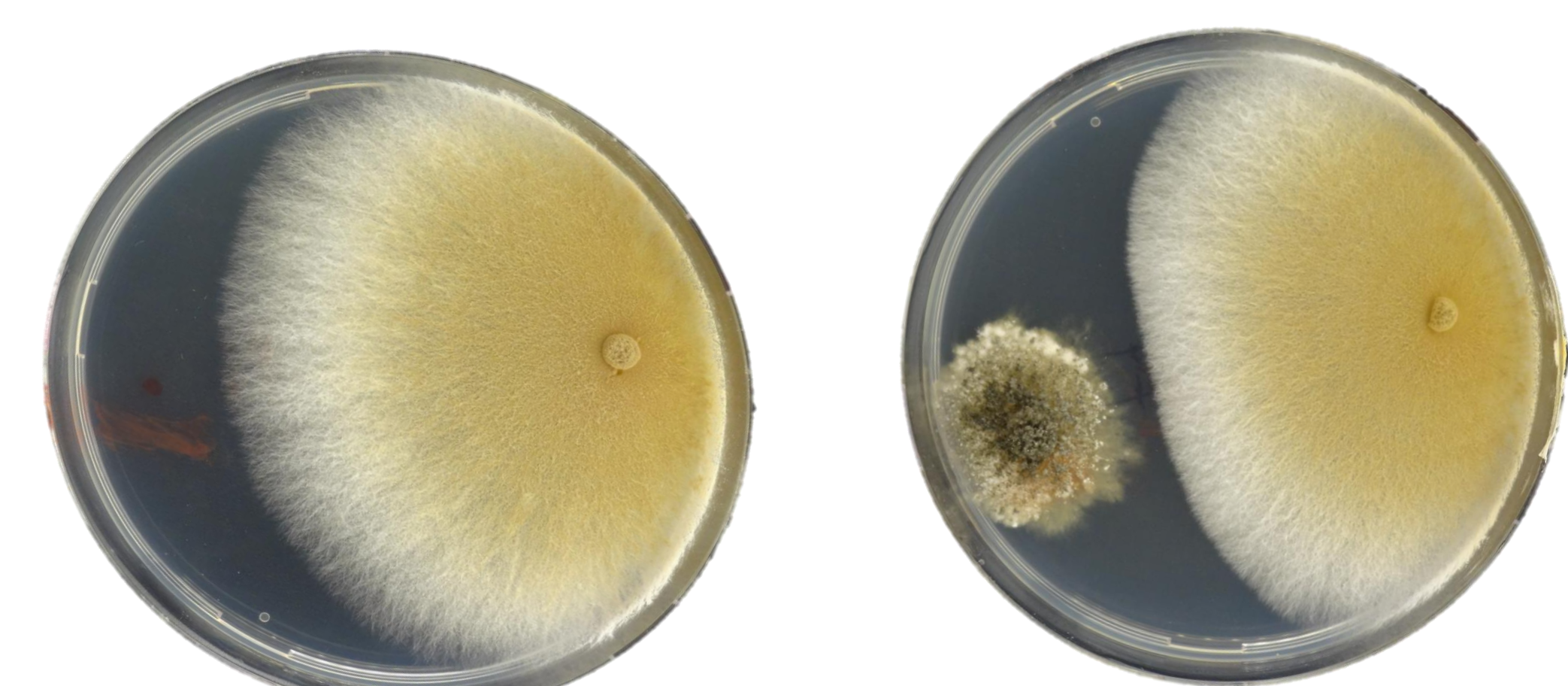


Figura 2) . Ensayo de antagonismo de *N. sphaerica* HM-2 contra diferentes cepas de *M. roreri*.

Actividad antifúngica de los extractos contra *M. roreri* Inia 1

Día	Concentración (mg / mL)	Porcentaje de inhibición (%)
10	1200	100
	133.33	22.55 ± 1.41
	13.33	14.97 ± 1.66
	3.33	6.68 ± 1.22
20	1200	100
	133.33	41.42 ± 1.75
	13.33	18.20 ± 2.24
	3.33	11.54 ± 2.22
30	1200	100
	133.33	15.35 ± 1.83
	13.33	6.83 ± 1.87
	3.33	4.82 ± 0.54

Caracterización química mediante UHPLC-MS-QTOF

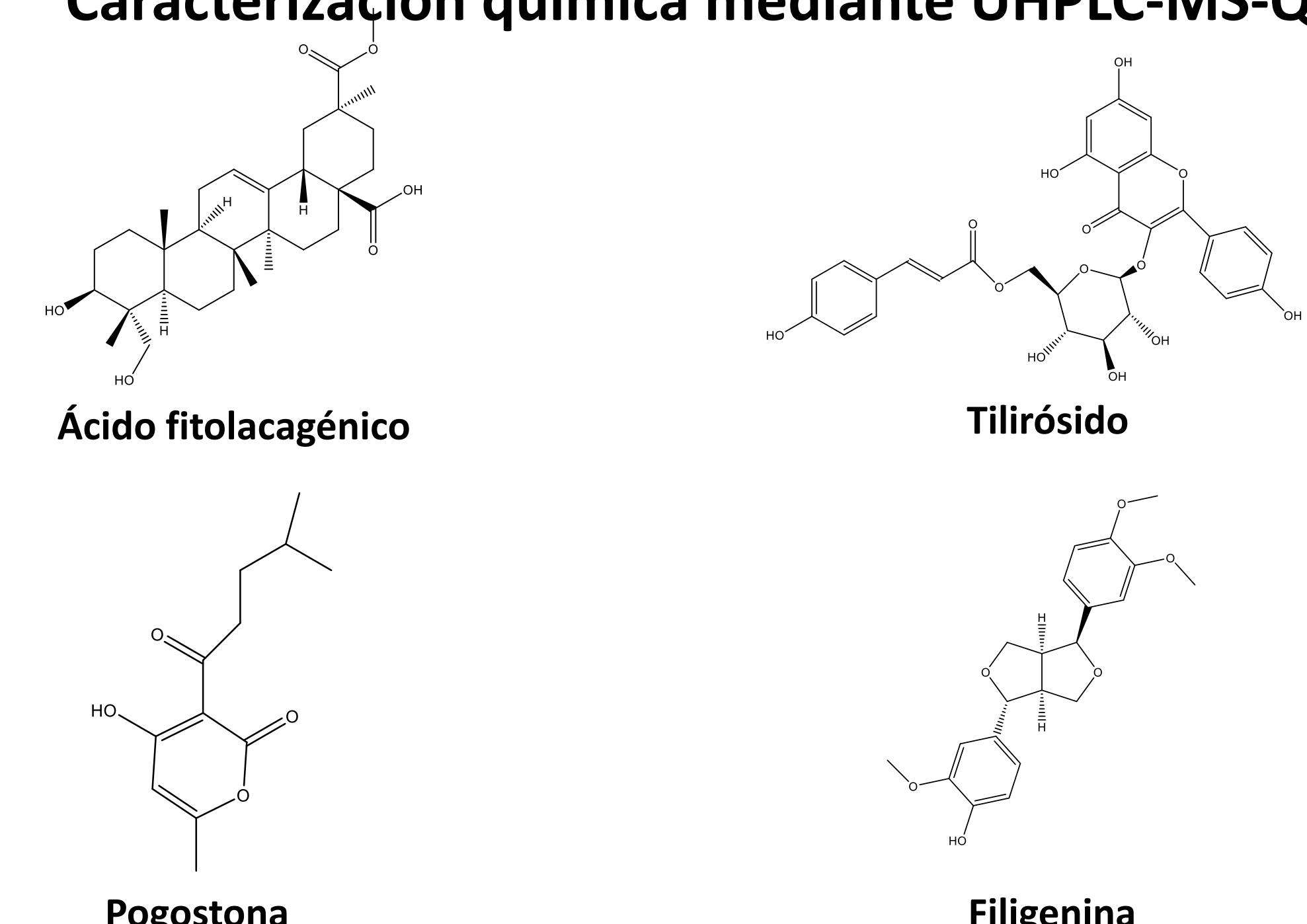


Figura 3) Estructuras de las moléculas antifúngicas encontradas de los extractos obtenidos



CONCLUSIÓN

Entre las trece cepas de *M. roreri* provenientes de diferentes localidades de Ecuador sujetas a estudio, *N. sphaerica* HM-2 fue capaz de inhibir el crecimiento de diez. Esto se debe porque produce metabolitos con actividad antifúngica como los mostrados en la figura 3. El tiempo de crecimiento de las cepas cuyo extracto presenta mayor actividad antifúngica es 20 días.